

УДК 31:551.464.5 (262.54)

СТАТИСТИЧЕСКИЙ ПОДХОД  
К ЗАДАЧЕ ПОСТРОЕНИЯ ПРОГНОЗИРУЮЩИХ ФУНКЦИЙ  
СОЛЕННОСТИ АЗОВСКОГО МОРЯ

Л.А.Кучай

Проблема обработки наблюдений и их анализа в современных исследованиях весьма актуальна. Интерес представляет получение модели, обладающей максимальной простотой, минимальным числом параметров, и при этом адекватно описывающей наблюдения.

Цель предлагаемой работы – построение модели временного ряда наблюдений  $S_t$ , значения которого представляют собой среднегодовую величину солености Азовского моря (в ‰) за период с 1912 по 1969 г. (данные лаборатории гидрологии и гидрохимии (АзНИИРХа)).

При выборе подхода для получения модели  $S_t$  были использованы статистические методы анализа временных рядов, в которых наблюдения зависимы, и характер этой зависимости интересен сам по себе.

Процесс построения модели состоит из следующих этапов /2/:

- 1) процесс идентификации (выбор класса модели);
- 2) подгонка идентифицированной модели к временному ряду (использование эмпирических данных для оценки параметров модели);
- 3) проверка модели для выявления неадекватности ее и выработки подходящих изменений.

Особенностью выбранного подхода анализа временных рядов является возможность исследования некоторых нестационарных процессов, а именно процессов со стационарными приращениями  $n$ -го порядка (время дискретное) /1/. Такие процессы, в частности, удовлетворяют разностной схеме:

$$W_t = \nabla^n S_t \quad (t = 0, \pm 1, \pm 2, \dots)$$

где  $S_t$  - исследуемый временной ряд;

$\nabla$  - разностной оператор

( $\nabla S_t = S_t - S_{t-1}$ ,  $\nabla^2 S_t = \nabla S_t - \nabla S_{t-1}$  и т.д.);

$n$  - порядок оператора ;

$W_t$  - новый временной ряд, полученный в результате действия оператора  $\nabla^n$  на исследуемый ряд.

Так как целью анализа временного ряда  $S_t$  является прогноз, существенно также и то, что подогапанная статистическая модель позволит определить дисперсию ошибок прогноза и вычислить пределы, в которых с заданной вероятностью будут лежать будущие значения ряда.

Идентификация. Методы идентификации, предложенные в работах /1/ и /2/, используют в качестве основного инструмента автокорреляционную функцию процесса. Автокорреляционная функция процесса, находящегося в статистическом равновесии, имеет тенденцию к затуханию с увеличением задержки. Отсутствие затухания выборочной автокорреляционной функции истолковывается в том смысле, что процесс ведет себя нестационарно, хотя возможно, что ряд  $\nabla S_t$ , или разности более высокого порядка будут стационарными процессами.

В табл. I представлены значения выборочных автокорреляционных функций процессов.  $S_t, \nabla S_t, \nabla^2 S_t$ .

Т а б л и ц а I  
Значения выборочных автокорреляций процессов  $S_t, \nabla S_t, \nabla^2 S_t$ .

$k$	$r_k$		
	$S_t$	$\nabla S_t$	$\nabla^2 S_t$
I	0,868	0,183	-0,451
2	0,682	0,121	-0,055
3	0,453	-0,036	-0,081
4	0,238	-0,094	-0,032
5	0,091	-0,063	0,093
6	-0,023	-0,203	-0,013
7	-0,054	-0,280	-0,160
8	-0,016	-0,114	0,031
9	0,065	0,011	0,027
10	0,133	0,089	0,085
11	0,168	0,017	-0,056
12	0,192	0,038	0,033

Медленный спад выборочных автокорреляций процесса  $S_t$  делает необходимым исследование процессов  $\nabla S_t$  и  $\nabla^2 S_t$  и их корреляционных функций.

Для ряда  $\nabla^2 S_t$  автокорреляции малы уже для  $k \geq 2$ . Это указывает на то, что этот временной ряд может быть описан как процесс скользящего среднего первого порядка /2/, который представляет собой линейную систему, где входом служит последовательность независимых случайных величин  $a_t$  с фиксированным распределением (обычно нормальным с нулевым средним и дисперсией  $\sigma_a^2$ ), а выходом — исследуемый ряд. В общем случае оператор системы выражает текущее значение выходного процесса как линейную комбинацию конечного числа величин  $a_t$ , т.е.

$$\nabla^2 S_t = a_t - \sum_{i=1}^q \theta_i a_{t-i},$$

где  $q$  — порядок процесса скользящего среднего;

$\theta_i$  — параметры системы.

В рассматриваемом случае  $q = 1$  и, следовательно, ряд  $\nabla^2 S_t$  идентифицируется моделью

$$\nabla^2 S_t = a_t - \theta a_{t-1}. \quad (1)$$

Оценка параметра модели. Раскрывая оператор  $\nabla^2$  модели (1), получим

$$S_t - 2S_{t-1} + S_{t-2} = a_t - \theta a_{t-1},$$

т.е.

$$S_t = 2S_{t-1} - S_{t-2} + a_t - \theta a_{t-1}. \quad (2)$$

Если ищется прогноз значения  $S_{t+\ell}$ ,  $\ell \geq 1$ , говорят, что прогноз делается в момент  $t$  с упреждением  $\ell$ . Из формулы (2) следует, что

$$S_{t+\ell} = 2S_{t+\ell-1} - S_{t+\ell-2} + a_{t+\ell} - \theta a_{t+\ell-1}. \quad (3)$$

Сделанный в работе /2/ вывод о том, что прогноз с минимальной среднеквадратической ошибкой в момент  $t$  с упреждением  $\ell$  есть условное математическое ожидание  $S_{t+\ell}$  в момент  $t$ , дает возможность использовать модель в качестве рекуррентной формулы для прогнозирования будущих значений ряда.

Если рассматривать  $S_{t+\ell}$  как функцию  $\ell$  при фиксированном  $t$ , то  $\hat{S}_t(\ell)$  — прогнозирующая функция для момента  $t$ :

$$\hat{S}_t(1) = 2S_t - S_{t-1} - \theta a_t \quad \text{для } \ell = 1, \quad (4)$$

$$\hat{S}_t(\ell) = 2\hat{S}_t(\ell-1) - \hat{S}_t(\ell-2) \quad \text{для } \ell \geq 2. \quad (5)$$

При этом последовательность  $a_t$ , которая генерирует рассматриваемый процесс  $S_t$ , является рядом остаточных ошибок при прогнозировании на шаг вперед /2/, т.е.

$$a_t = S_t - \hat{S}_{t-1}. \quad (I).$$

Этот важный вывод используется для оценки параметра  $\theta$  выбранной модели, так как совершенно очевидно, что для различных значений  $\theta$  модель (I) аппроксимирует рассматриваемый ряд наблюдений  $S_t$  с различной точностью, и оптимальным будет то значение параметра  $\theta$ , при котором величина  $P(\theta)$  станет минимальной

$$P(\theta) = \sum_{t=1}^m a_t^2(\theta), \quad (6)$$

где  $N$  - количество членов рассматриваемого ряда;

$n$  - порядок разностного оператора модели (I) (в рассматриваемом случае  $N = 20$ ,  $n = 2$ ).

Т а б л и ц а 2

$\theta$	$P(\theta)$
0,3	14,26
0,35	13,86
0,4	13,50
0,45	13,19
0,5	12,91
0,55	12,67
0,6	12,49
0,65	12,44
0,7	12,70
0,75	13,54
0,8	15,24
0,85	17,55

В табл.2 представлены значения величины  $P(\theta)$  в зависимости от значения  $\theta$ . Минимальное значение  $P(\theta)$  достигается для  $\theta = 0,65$

Проверка модели в данной работе основана на анализе остаточных ошибок  $a_t$ . Для адекватной модели по мере увеличения длины ряда процесс  $a_t$  становится все ближе к белому шуму. Следовательно, последовательные значения  $a_t$  должны быть некоррелированы. При изучении автокорреляционной функции  $r_k(a)$  воспользуемся общим критерием согласия /2/, который заключается

в том, что если подгоняемая модель удовлетворительна, то величина

$$Q = m \sum_{k=1}^R r_k^2(a)$$

распределена приближенно как  $\chi^2(R-1)$ . В табл.3 приведены значения  $r_k(a)$  для параметров  $\theta = 0,65$  и  $\theta = 0,9$ , причем последний приведен для сравнения результатов подгонки модели.

Т а б л и ц а 3

Выборочные автокорреляции  $a_t(\theta)$

$k$	$r_k(a)$	
	$\theta = 0,65$	$\theta = 0,9$
I	0,011	0,17
2	-0,06	0,039
3	-0,134	-0,076
4	0,113	-0,11
5	-0,05	-0,057
6	-0,11	-0,169
7	-0,31	-0,339
8	-0,029	-0,083
9	0,037	0,004
10	0,097	0,09
11	-0,02	0,029
12	0,093	0,136
13	-0,031	0,042
14	0,123	0,169
15	0,224	0,253
16	0,201	0,189
17	-0,044	-0,057
18	-0,258	0,273
19	-0,132	-0,192
20	-0,076	-0,155
$Q$	20,32	27,8

Величины  $Q$  сравниваем с таблицей  $\chi^2$  с 19 степенями свободы. 90%- и 9%-ные квантили для  $\chi^2$  равны соответственно 27,2 и 30,1.

Несмотря на сильное различие параметров  $\theta = 0,65$  и  $\theta = 0,9$ , последний почти укладывается в норму при проверке адекватности модели. Это вызывает сомнения и требует дополнительной проверки.

Если бы процесс  $a_t$  был белым шумом, то график его проинтегрированного спектра имел бы разброс относительно прямой, соединяющей точки (0;0) и (0,5; 1). Из-за неадекватности мо-

дели ряд  $a_t$  становится неслучайным и его проинтегрированный спектр систематически отклоняется от ожидаемой прямой.

Несмещенная оценка проинтегрированного спектра есть /2/:

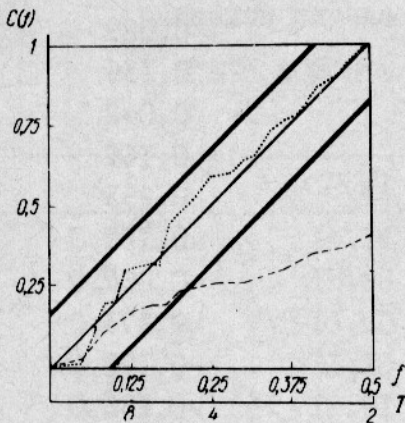
$$C(f_j) = \sum_{i=1}^j J(f_i) / m \sigma_a^2,$$

где  $\sigma_a^2$  - дисперсия процесса  $a$  ;

$$J(f_i) = \left[ \left( \sum_{t=1}^m a_t \cos 2\pi f_i t \right)^2 + \left( \sum_{t=1}^m a_t \sin 2\pi f_i t \right)^2 \right];$$

$f_i = \frac{i}{m}$  - частота.

Отклонение полученного спектра от ожидаемого для белого шума оценивается при помощи критерия Колмогорова. На рисунке приведены проинтегрированные спектры процессов  $a_t$  для  $\theta = 0,65$  (точечная линия) и  $\theta = 0,9$  (пунктирная линия). Эта дополнительная проверка показывает, что процесс  $a_t$  для  $\theta = 0,9$  не обладает свойствами белого шума, и что оценка параметра  $\theta$  была произведена верно.



**Прогнозирование.** Наиболее удобной формой модели, используемой при прогнозировании, являются рекуррентные формулы (4)-(5). Табл.4 представляет собой наглядную схему вычислений прогнозов по этим формулам. Доверительные интервалы, приведенные в схеме, строятся исходя из предположения, что  $a_t$  подчиняется нормальному закону распределения /2/.

Существует еще одна форма модели (I), которая может быть использована при прогнозировании, так как дает возможность выразить значение  $S_{t+l}$  как бесконечно взвешенную сумму предыдущих наблюдений и импульса  $a_{t+l}$  т.е.

$$S_{t+l} = \sum_{j=1}^{\infty} \alpha_j S_{t-j+l} + a_{t+l}. \quad (7)$$

Веса  $\alpha_j$  можно получить из обращенной формы модели (I) /2/.

В табл.5 представлены веса  $\alpha_j$  для  $\theta = 0,65$ .

Т а б л и ц а 4

## Схема вычисления прогнозов

t	Момент начала прогно- за	$S_t$	$a_t$	Время упреждения $\rho$					
				1	2	3	4	5	6
				Доверительные интервалы					
				50%					
				$\pm 0,57$	$\pm 0,82$	$\pm 1,08$	$\pm 1,37$	$\pm 1,67$	$\pm 1,99$
				95%					
				$\pm 1,66$	$\pm 2,38$	$\pm 3,15$	$\pm 3,98$	$\pm 4,86$	$\pm 5,79$
1946		9,9							
1947	Н	10,4							
1948		10,5	+0,4	10,9					
1949		11,3			11,2				
1950		11,6				11,5			
1951		11,9					11,8		
1952		12,1						12,8	
1953	Н	12,4							12,4
1954		11,8	+0,9	12,7					
1955		12,3			12,43				
1956		11,9				12,1			
1957		11,1					11,8		

Т а б л и ц а 5

Веса  $\alpha_j$  для модели (7)

j	1	2	3	4	5
$\alpha_j$	1,37	-0,137	-0,086	-0,054	-0,034
j	6	7	8	9	
$\alpha_i$	-0,022	-0,140	-0,008	-0,005	-0,0

В табл.6 приведены значения прогнозов ряда  $S_t$ , просчитанные по весам  $\alpha_j$  с 1971 по 1974 г. Здесь же для сравнения приведены значения  $S_t$ .

Т а б л и ц а 6

Прогнозы  $S_t$ , рассчитанные с помощью весов  $\alpha_j$

Год	Прогноз $S_t$	Измерение $S_t$
1971	11,83	11,8
1972	12,20	12,3
1973	12,57	12,6
1974	12,87	12,9

### З а к л ю ч е н и е

Приведенная модель является лишь начальным этапом в использовании статистического подхода для прогнозирования процесса  $S_t$ , однако она, безусловно, полезна для дальнейших исследований в этом направлении.

### Список использованной литературы

1. Г.Дженкис, Д.Ваттс. Спектральный анализ и его приложение. М., "Мир", 1971, с.
2. Дж.Бокс, Г.Дженкис. Анализ временных рядов, прогноз и управление. М., "Мир", 1974, с.

A statistical approach to the problem  
of constructing forecasting functions  
of salinity in the Azov Sea.

L.A.Kuchai

### S u m m a r y

The problem of modelling a time series is discussed. A parametric model with a single parameter representing the mean annual salinity in the Azov Sea is suggested. It may forecast the basic time series one or two years in advance. The adequacy of the model is checked up using the data of actual observations.